

Fundamentos matemáticos y aplicaciones prácticas de las Redes Generativas Antagónicas (GANs)

Nicolás Vives Vicente

Universidad de Alicante

Curso 2024/2025

- 1 Preliminares
- 2 Redes Generativas Antagónicas
 - Modelaje, estructura y entrenamiento
 - Limitaciones y problemas en la práctica
 - DCGAN
- 3 Desarrollo en python de una GAN
- 4 Conclusiones

Preliminares

Neurona artificial

Regresión Lineal

$$\hat{y} = \omega_1 x_1 + \omega_2 x_2 + \cdots + \omega_p x_p + b$$

Neurona artificial

A raíz del modelo de regresión lineal, se define una neurona artificial como

$$\hat{y} = f(\omega_1 x_1 + \omega_2 x_2 + \cdots + \omega_p x_p + b) = f(\omega \cdot x + b)$$

f es la función de activación para romper la linealidad.

Redes Neuronales

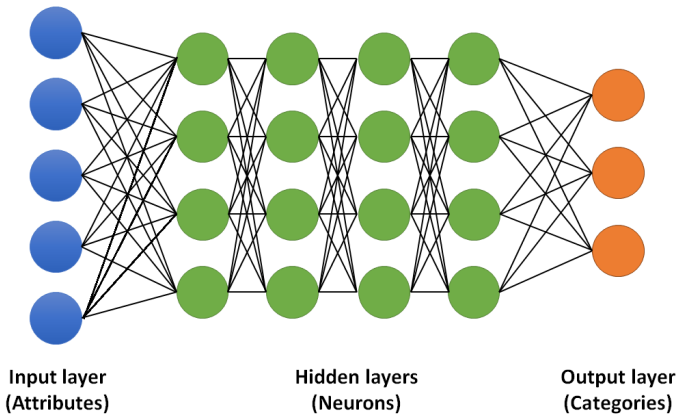


Figura: Estructura de una red neuronal artificial.

Redes Generativas Antagónicas

Modelaje

- Datos originales con distribución p_{data}
- Muestras z provenientes de una variable de con distribución p_z

Generador

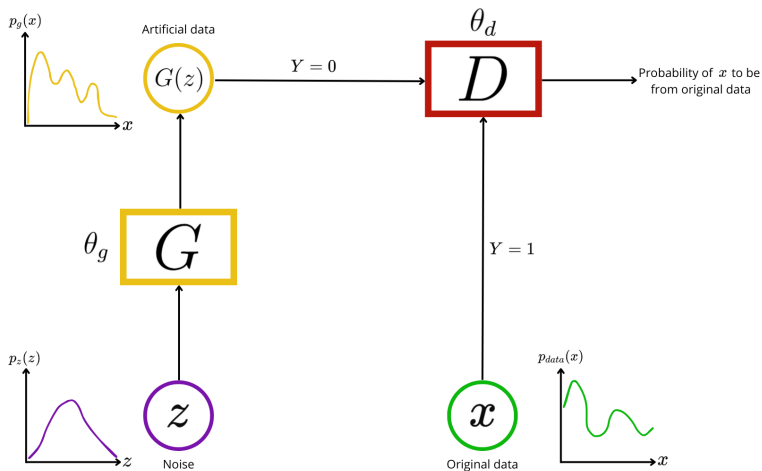
G red neuronal con parámetros $\theta_g \in \Theta_G$ que produce $G(z; \theta_g)$

- G genera una distribución p_g

Discriminador

D red neuronal con parámetros $\theta_d \in \Theta_D$ produce $D(x, \theta_d) \in [0, 1]$

Estructura de una GAN



Proceso de entrenamiento

Función de pérdida

$$\mathcal{L}(D, G) = -\mathbb{E}_{x \sim p_{data}(x)} [\log D(x)] - \mathbb{E}_{z \sim p_z(z)} [\log(1 - D(G(z)))]$$

Objetivos del discriminador:

- Si x proviene de p_{data} : se busca $D(x) \rightarrow 1$, equivalente a minimizar $-\log(D(x))$.
- Si $x = G(z)$ proviene de p_g : se busca $D(x) = D(G(z)) \rightarrow 0$, equivalente a minimizar $-\log(1 - D(G(z)))$.

Objetivos del generador:

- Si $x = G(z)$ proviene de p_g : se busca $D(x) = D(G(z)) \rightarrow 1$ equivalente a maximizar $-\log(1 - D(G(z)))$.

Proceso de entrenamiento

Problema minimax

Problema minimax

$$\min_G \max_D V(D, G) = \mathbb{E}_{x \sim p_{data}(x)} [\log D(x)] + \mathbb{E}_{z \sim p_z(z)} [\log(1 - D(G(z)))]$$

Proceso de entrenamiento

Discriminador óptimo

Para G fijo, el discriminador D óptimo es:

$$D_G^*(x) = \frac{p_{data}(x)}{p_{data}(x) + p_g(x)}$$

$$C(G) = \max_D V(G, D)$$

$$= \mathbb{E}_{x \sim p_{data}} [\log D_G^*(x)] + \mathbb{E}_{z \sim p_z} [\log(1 - D_G^*(G(z)))]$$

$$= \mathbb{E}_{x \sim p_{data}} [\log D_G^*(x)] + \mathbb{E}_{x \sim p_g} [\log(1 - D_G^*(x))]$$

$$= \mathbb{E}_{x \sim p_{data}} \left[\log \frac{p_{data}(x)}{p_{data}(x) + p_g(x)} \right] + \mathbb{E}_{x \sim p_g} \left[\log \frac{p_g(x)}{p_{data}(x) + p_g(x)} \right]$$

Proceso de entrenamiento

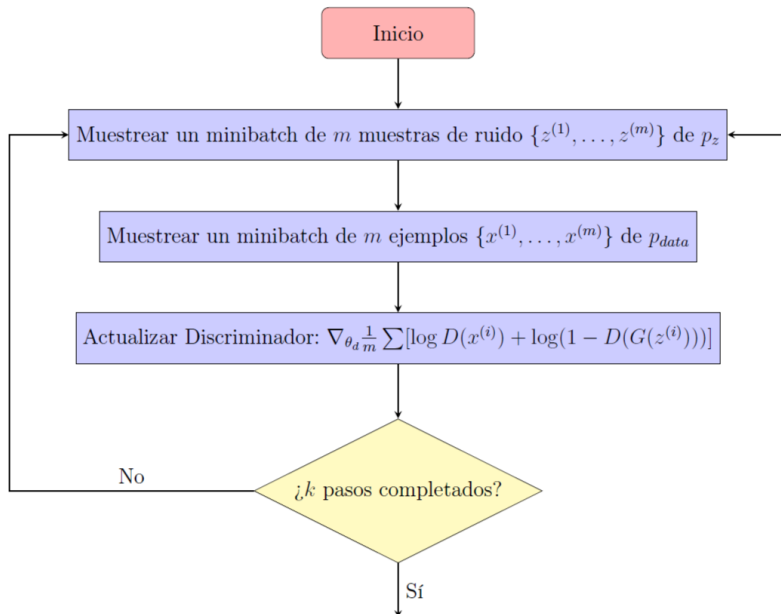
Mínimo de $C(G)$

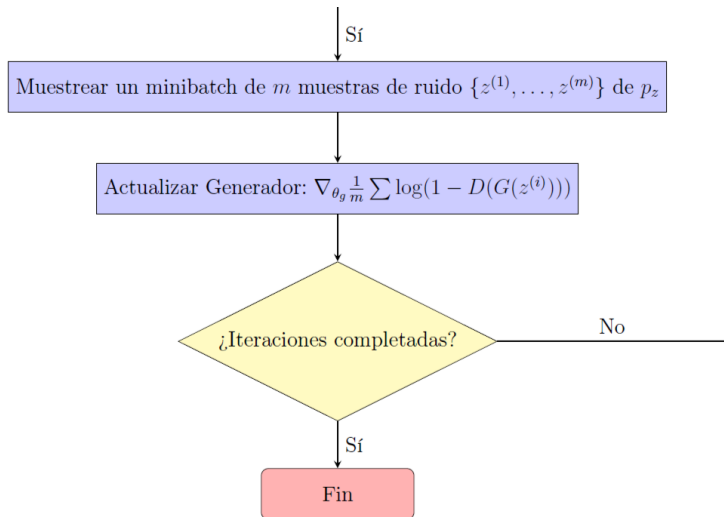
El mínimo global de $C(G)$ se alcanza si y solo si $p_g = p_{data}$. En ese punto, $C(G)$ toma el valor $-\log 4$.

En la teoría, el modelo se formula como un problema de optimización sobre las funciones G y D . Sin embargo, en la práctica:

- No exploramos todas las posibles funciones G y D para encontrar el óptimo del problema.
- La distribución p_g solo se conoce de manera implícita a través del generador.

Como $G = G(z; \theta_g)$ y $D = D(x; \theta_d)$ son redes neuronales, la optimización se lleva a cabo ajustando los parámetros $\theta_g \in \Theta_G$ y $\theta_d \in \Theta_D$.





Convergencia del Algoritmo

Decimos que un modelo tiene suficiente capacidad cuando es capaz de representar cualquier función.

Convergencia del Algoritmo

Supongamos que se cumplen las hipótesis:

- a) Los modelos de G y D tienen suficiente capacidad.
- b) En cada paso del Algoritmo, el discriminador es capaz de alcanzar su valor óptimo dado cualquier G .
- c) La distribución p_g se actualiza con el fin de minimizar la expresión

$$\mathbb{E}_{x \sim p_{data}} [\log D_G^*(x)] + \mathbb{E}_{x \sim p_g} [\log(1 - D_G^*(x))]$$

Entonces, p_g converge a p_{data} , tomando así la distribución generada la forma de la distribución de los datos.

Limitaciones y problemas en la práctica

Desvanecimiento de gradientes (*Vanishing gradients*)

- **Problema:** Cuando D es mucho mejor que G se tiene que

$$\left\| \nabla_{\theta_g} \frac{1}{m} \sum_{i=1}^m \log(1 - D(G(z^{(i)}))) \right\| \rightarrow 0$$

- **Consecuencias:**

- Actualizaciones de θ_g insignificantes
- G y D no consiguen mejorar

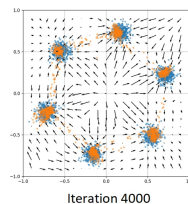
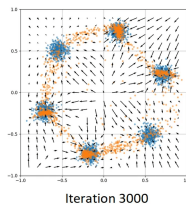
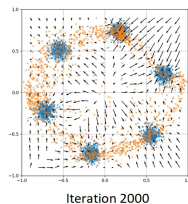
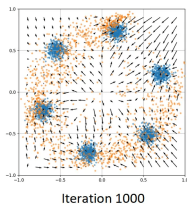
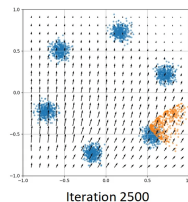
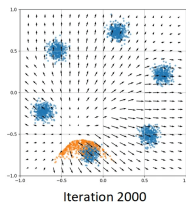
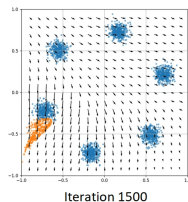
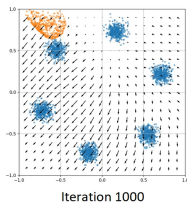
- **Posibles soluciones:**

- Maximizar $\log(D(G(z)))$ en lugar de minimizar $\log(1 - D(G(z)))$
- Ajustar el hiperparámetro k y las *learning rates*

- **Conclusiones:**

- D debe ser bueno pero no perfecto
- No es un problema fácil de solucionar y continúa apareciendo en modelos de GANs actuales.

Colapso de modo (*Mode Collapse*)



Colapso de modo (*Mode Collapse*)

- **Problema:** G transforma cualquier vector de ruido z en elementos prácticamente idénticos del espacio de datos.
- **Causas:**
 - Capacidad insuficiente del modelo
 - Sobreentrenamiento del discriminador
 - Ausencia de variedad en el *dataset*
 - Función de pérdida y parámetros inadecuados
- **Soluciones:**
 - Aumentar la complejidad del generador
 - Ajustar correctamente al discriminador
 - Correcta elección de la función de pérdida e hiperparámetros

DCGAN

Convolución

Llamamos Kernel de tamaño $2N + 1$ y Kernel no centrado de tamaño N a las matrices:

$$\begin{bmatrix} k_{-N,-N} & \cdots & k_{-N,N} \\ \vdots & \ddots & \vdots \\ k_{N,-N} & \cdots & k_{N,N} \end{bmatrix}$$

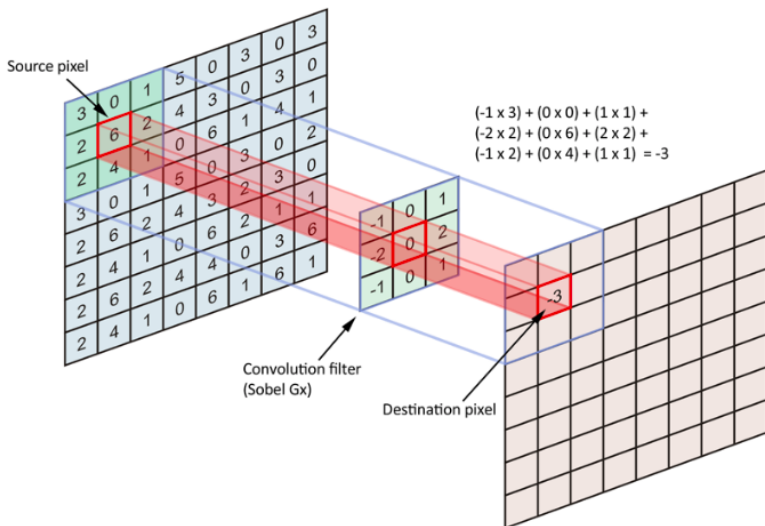
$$\begin{bmatrix} k_{1,1} & \cdots & k_{1,N} \\ \vdots & \ddots & \vdots \\ k_{N,1} & \cdots & k_{N,N} \end{bmatrix}$$

Convolución entre M y K

$$Y(i,j) = \sum_{u=-N}^N \sum_{v=-N}^N M(i-u, j-v) K(u, v)$$

- $M(i,j)$ representa la entrada en la posición (i,j) de la matriz M .
- $K(s, t)$ es la posición (s, t) del kernel K . Centrado en $k_{0,0}$.
- $Y(i,j)$ es la salida en la posición (i,j) .

Convolución



Convolución traspuesta entre Y y K

- Y una matriz de tamaño $m \times n$
- $Y(i, j)$ la entrada en la posición (i, j) de la matriz Y .
- K kernel no centrado de tamaño N
- $K(u, v)$ la posición (u, v) del kernel K .
- s el valor del hiperparámetro *stride*

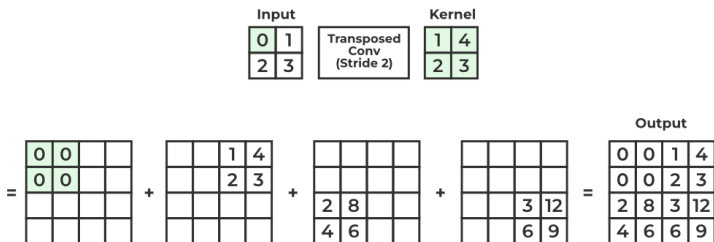
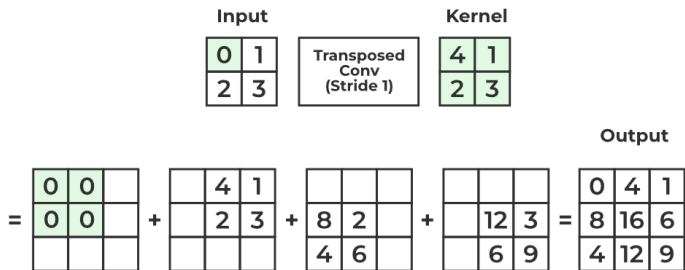
Para cada $Y(i, j)$ se define M_q de dimensión $s(m - 1) + N \times s(n - 1) + N$:

$$M_q(s(i - 1) + u, s(j - 1) + v) = \sum_{u=1}^N \sum_{v=1}^N Y(i, j) K(u, v)$$

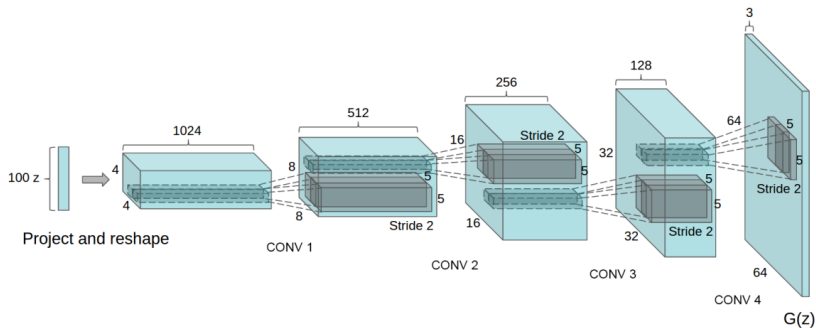
los elementos de la matriz no definidos por esta fórmula toman el valor 0.

$$M = \sum_{q=1}^{m \times n} M_q$$

Convolución traspuesta



Estructura del Generador de una DCGAN



Desarrollo en python de una GAN

Modelo y *dataset*

- **Modelo:** DCGAN (Deep Convolutional GAN)
- **Dataset:** Fashion-MNIST
 - 70.000 imágenes (60k entrenamiento, 10k test)
 - Resolución: 28×28 píxeles (escala de grises, 1 canal)
 - 10 categorías: camiseta, pantalón, suéter, vestido, abrigo, sandalia, camisa, zapatilla deportiva, bolso, botín.



Estructura del generador

Tipo de capa	Dimensiones del Output	Parámetros
Dense	6272	633 472
Reshape	(7, 7, 128)	0
Batch Normalization	(7, 7, 128)	512
Traspose Convolution	(14, 14, 64)	204 864
Batch Normalization	(14, 14, 64)	256
Traspose Convolution	(28, 28, 1)	1 601

Estructura del discriminador

Tipo de capa	Dimensiones del Output	Parámetros
Convolution	(14, 14, 64)	1 664
LeakyReLU	(14, 14, 64)	0
Dropout	(14, 14, 64)	0
Convolution	(7, 7, 128)	204 928
LeakyReLU	(7, 7, 128)	0
Dropout	(7, 7, 128)	0
Flatten	6272	0
Dense	1	6 273

Datos de entrenamiento

- Número de *epochs*: 20
- Tamaño del *batch*: 32
- *Batches* totales: 37 500
- Tiempo de entrenamiento: 55 minutos

Resultados

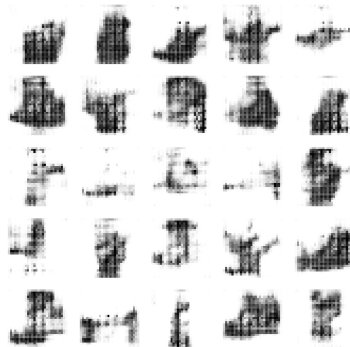
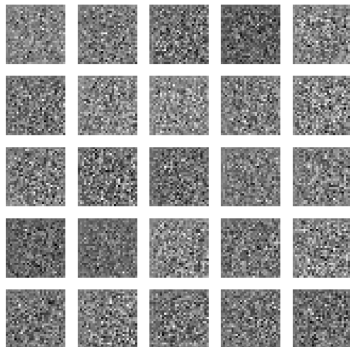


Figura: Ruido inicial e imágenes producidas por la GAN tras el primer *epoch*.

Resultados

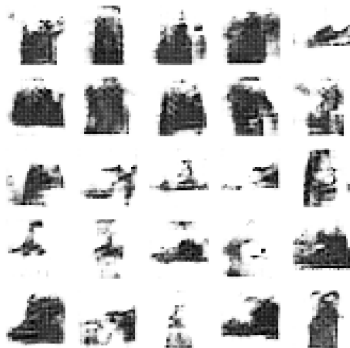


Figura: Imágenes generadas tras los *epochs* número 2 y 3 respectivamente.

Resultados



Figura: Imágenes generadas tras los *epochs* número 5 y 10 respectivamente.

Resultados



Figura: Imágenes generadas tras los *epochs* número 15 y 20 respectivamente.

Resultados

Evolución de la loss por batch

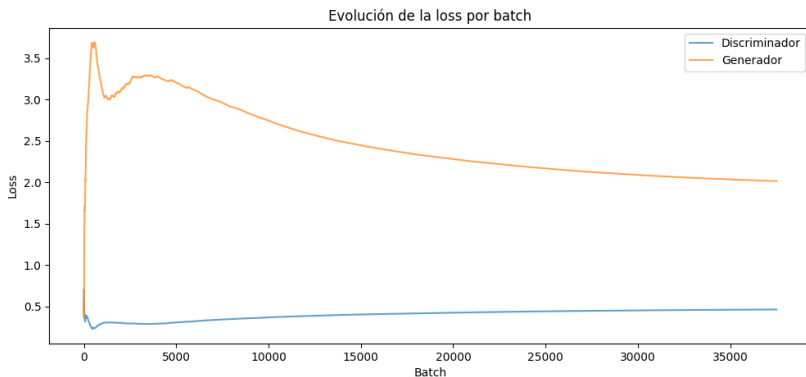


Figura: Evolución de la función de pérdida (entropía binaria cruzada) en función del *batch* de entrenamiento.

Conclusiones

Conclusiones

- En este trabajo se ha abordado el estudio de la teoría matemática tras las Redes Generativas Antagónicas.
- Se ha visto que la estructura GAN alcanza un equilibrio de Nash cuando $p_g = p_{data}$ y $D(x) = \frac{p_{data}(x)}{p_{data}(x) + p_g(x)}$.
- Se ha entrenado una DCGAN en Python, lo que ha permitido observar cómo una GAN aprende progresivamente a transformar ruido en imágenes. Durante este proceso, se han evitado problemas comunes, como el desvanecimiento de gradientes y el colapso de modo.
- Este trabajo abre la puerta al estudio de modelos generativos más actuales, como los modelos difusivos y los transformadores, que, si bien ofrecen avances significativos en la generación de datos, también presentan sus propios desafíos e inconvenientes.

Conclusiones

- Este trabajo me ha permitido integrar conocimientos adquiridos durante el grado para acercarme más al campo de la inteligencia artificial que tanto me interesa
- La experiencia obtenida con el entrenamiento y el análisis de modelos GAN me sirve como base sólida para investigar y desarrollar otros modelos generativos más avanzados en futuros trabajos de investigación o un posible TFM.
- En definitiva, el trabajo me ha permitido profundizar en el conocimiento de los modelos generativos y me motiva a seguir investigando en esta área en el futuro.

Gracias